

11,05

Дальний порядок в двумерных $O(n)$ -моделях, индуцированный случайными полями, и состояние Имри–Ма

© А.А. Берзин¹, А.И. Морозов^{2,¶}, А.С. Сигов¹

¹ МИРЭА — Российский технологический университет, Москва, Россия

² Московский физико-технический институт (национальный исследовательский университет), Долгопрудный, Московская обл., Россия

¶ E-mail: mor-alexandr@yandex.ru

Поступила в Редакцию 6 сентября 2019 г.

В окончательной редакции 6 сентября 2019 г.

Принята к публикации 24 сентября 2019 г.

Рассмотрено влияние дефектов типа „случайное локальное поле“ с анизотропным распределением случайных полей на двумерные модели с непрерывной симметрией векторного параметра порядка. В случае слабой анизотропии случайных полей с понижением температуры имеет место плавный переход от парафазы с динамическими флуктуациями параметра порядка к фазе Имри–Ма со статическими флуктуациями, вызванными флуктуациями случайного поля дефектов. В случае сильной анизотропии случайных полей дефекты приводят к эффективному уменьшению числа компонент параметра порядка и возникновению при конечной температуре фазового перехода в упорядоченное состояние.

Ключевые слова: дефекты типа „случайное локальное поле“; двумерные $O(n)$ -модели; фазовая диаграмма; фаза Имри–Ма.

DOI: 10.21883/FTT.2020.02.48880.575

1. Введение

Хорошо известно, что в двумерных системах с непрерывной симметрией n -компонентного векторного параметра порядка ($O(n)$ -модели) дальний порядок при конечной температуре отсутствует. В двумерной X – Y -модели ($n = 2$) при конечной температуре имеет место фазовый переход из парамагнитной фазы с экспоненциально спадающей корреляционной функцией параметра порядка в фазу Березинского–Костерлица–Таулеса (БКТ) со степенным характером убывания корреляционной функции [1–3]. В двумерной модели Гейзенберга ($n = 3$) парамагнитная фаза существует при всех отличных от нуля температурах [3]. Введение слабой одноионной анизотропии приводит при низкой температуре к изменению критического поведения системы. В случае анизотропии типа „легкая ось“, как показано в работе [4], имеет место фазовый переход в ферромагнитную фазу. В случае анизотропии типа „легкая плоскость“ происходит фазовый переход из парамагнитной фазы в фазу БКТ. Аналогичное рассмотрение влияния слабой анизотропии типа „легкая ось“ на поведение двумерной X – Y -модели не проводилось.

Как было показано в наших работах [5–7], введение в систему с $O(n)$ симметрией параметра порядка дефектов типа „случайное локальное поле“ с анизотропным распределением направлений случайных полей дефектов в n -мерном пространстве параметра порядка индуцирует во втором порядке по случайному полю эффективную глобальную анизотропию, которая стремится сориентировать параметр порядка перпендикулярно преиму-

щественному направлению случайных полей. Именно этой анизотропией объясняется появление при конечной температуре дальнего порядка в двумерной X – Y -модели в результате введения в систему дефектов с коллинеарными направлениями локальных полей [8,9].

Кроме того, примеси типа „случайное локальное поле“ могут существенно изменить структуру парамагнитной фазы, переведя ее в неоднородное состояние Имри–Ма [10], в котором параметр порядка следует за пространственными флуктуациями направления случайного поля, созданного дефектами.

Данная работа посвящена построению фазовой диаграммы двумерных X – Y -модели и модели Гейзенберга со слабой анизотропией, индуцированной анизотропным распределением случайных полей дефектов.

2. Система классических спинов

Энергия обменного взаимодействия n -компонентных локализованных спинов \mathbf{s}_i фиксированной единичной длины (длина вектора может быть включена в соответствующие константы взаимодействия или поля), образующих двумерную квадратную решетку, в приближении взаимодействия ближайших соседей имеет вид

$$W_{ex} = -\frac{1}{2} J \sum_{i,\delta} \mathbf{s}_i \mathbf{s}_{i+\delta}, \quad (1)$$

где J — обменный интеграл, суммирование по i ведется по всей решетке спинов, а по δ — по ближайшим к данному спину соседям.

При наличии в системе одноионной анизотропии соответствующая энергия записывается в виде

$$W_{an} = \frac{1}{2} K \sum_i (s_i^\alpha)^2, \quad (2)$$

где K — константа анизотропии, s_i^α — одна из n компонент i -го спина, суммирование по i ведется по всей решетке спинов.

Энергия взаимодействия спинов со случайными локальными полями дефектов равна

$$W_{def} = - \sum_l \mathbf{s}_l \mathbf{h}_l, \quad (3)$$

суммирование ведется по случайно расположенным в узлах решетки дефектам, \mathbf{h}_l — локальное поле l -дефекта, а плотность распределения случайных локальных полей \mathbf{h} в спиновом пространстве (пространстве параметра порядка) обладает свойством $\rho(\mathbf{h}) = \rho(-\mathbf{h})$, что обеспечивает отсутствие в бесконечной системе среднего поля.

3. Бездефектная двумерная модель Гейзенберга со слабой анизотропией

Эта задача была рассмотрена в работе [4]. В случае анизотропии типа „легкая ось“ ($K < 0$) система переходит в класс моделей Изинга, и в ней возникает дальний порядок при температуре T_c , равной [4]

$$T_c \approx \frac{4\pi J}{\ln\left(\frac{J}{|K|}\right)}. \quad (4)$$

При $T \sim T_c$ происходит эффективное уменьшение n с трех до единицы и в системе возникает дальний порядок.

Выражение (4) легко получить из простых энергетических соображений. Для этого приравняем по абсолютному значению T_c и энергии анизотропии $E_c \sim K\xi^2$ скоррелированной при $T < J$ области с радиусом, равным радиусу корреляции ξ . Радиус корреляции двумерной модели Гейзенберга ξ дается формулой [3]

$$\xi = \exp\left(\frac{2\pi J}{T}\right). \quad (5)$$

Решая получившееся уравнение для переменной T_c

$$T_c = |K| \exp\left(\frac{4\pi J}{T_c}\right). \quad (6)$$

методом итераций и пренебрегая численным множителем порядка единицы под логарифмом, получаем в первом приближении формулу (4).

Данный метод оценки T_c хорошо работает и при исследовании систем с сильно анизотропным обменным взаимодействием, например, для нахождения критической температуры квазиодномерной модели Изинга [11].

В этом случае нужно приравнять к T_c не энергию анизотропии, а энергию слабого обменного взаимодействия между скоррелированными одномерными областями соседних нитей, вдоль которых имеет место сильное обменное взаимодействие.

Если же в двумерной модели Гейзенберга возникает слабая анизотропия типа „легкая плоскость“, то при температуре T_c , задаваемой формулой (4), происходит фазовый переход в фазу БКТ [4], а эффективное число компонент параметра порядка уменьшается с трех до двух.

4. Бездефектная двумерная X–Y-модель со слабой анизотропией

В данной модели с $n = 2$ возможна только анизотропия типа „легкая ось“. Воспользуемся и для данной модели описанным в предшествующем разделе методом оценки T_c . Согласно [3]

$$\xi = \exp(b\tau^{-1/2}), \quad (7)$$

где $\tau = (T - T_{BKT})/T_{BKT}$, а $T_{BKT} = \pi J/2$ — температура перехода из парамагнитной фазы в фазу БКТ в отсутствие анизотропии. Из условия $|E_c| \sim T_c$ находим в первом приближении, считая, что $T_c \sim T_{BKT}$,

$$\tau_c \approx \frac{4b^2}{\ln^2 \frac{J}{|K|}} \ll 1. \quad (8)$$

Таким образом, наличие слабой анизотропии приводит к тому, что при температуре $T_c = (1 + \tau_c)T_{BKT}$ в системе происходит фазовый переход в фазу с дальним порядком, и фаза БКТ не возникает. Поскольку в реальных кристаллических системах всегда присутствует слабая анизотропия, индуцированная симметрией кристаллической решетки, то экспериментальное наблюдение фазы БКТ в таких системах вряд ли возможно.

5. Температура \tilde{T} возникновения фазы Имри–Ма

В отличие от рассмотренных в разделах 3 и 4 систем, в которых одноионная анизотропия присутствовала в бездефектной системе, в данном разделе будет рассмотрен случай, когда анизотропия индуцируется дефектами типа „случайное локальное поле“, то есть в энергии классических спинов присутствуют только слагаемые (1) и (3). Но данные дефекты порождают не только анизотропию, но и флуктуации случайного поля, способствующие разрушению дальнего порядка.

Переход от поведения, присущего парамагнитной фазе чистой системы, к поведению, характерному для неупорядоченной фазы Имри–Ма, происходит при температуре \tilde{T} , которая находится из условия равенства

радиуса корреляции чистой системы ξ и оптимальной длины L^* статических флуктуаций параметра порядка в фазе Имри–Ма. При $T > \tilde{T}$ выполнено условие $\xi < L^*$ и в системе наблюдаются динамические тепловые флуктуации параметра порядка, характерные для чистой системы. При $T < \tilde{T}$ справедливо соотношение $\xi > L^*$ и статические флуктуации случайного поля „замораживают“ эти динамические флуктуации. Имеет место явление, родственное явлению стеклования.

Согласно работе [12], в случае двумерной системы по порядку величины

$$L^* \approx \left(\frac{J^2}{x \langle \mathbf{h}_I^2 \rangle} \right)^{1/2}. \quad (9)$$

Здесь x — безразмерная концентрация примесей (их число на одну ячейку), а угловые скобки обозначают усреднение по полям всех дефектов.

В случае двумерной модели Гейзенберга из условия $\xi = L^*$ получаем оценку для величины \tilde{T}

$$\tilde{T} \approx \frac{2\pi J}{\ln L^*} \approx \frac{4\pi J}{\ln \left(\frac{J^2}{x \langle \mathbf{h}_I^2 \rangle} \right)} = \frac{4\pi J}{\ln \left(\frac{J}{K_{cr}} \right)}, \quad (10)$$

где $K_{cr} \sim x \langle \mathbf{h}_I^2 \rangle / J$ — критическое значение глобальной анизотропии типа „легкая ось“, делающее существование фазы Имри–Ма энергетически невыгодным [12].

В случае двумерной X – Y -модели из этого же условия находим соответствующее замораживанию флуктуаций значение τ

$$\tilde{\tau} \approx \frac{4b^2}{\ln \left(\frac{J^2}{x \langle \mathbf{h}_I^2 \rangle} \right)} \approx \frac{4b^2}{\ln^2 \left(\frac{J}{K_{cr}} \right)} \ll 1. \quad (11)$$

Сама температура перехода в состояние Имри–Ма $\tilde{T} = (1 + \tilde{\tau})T_{BKT} \sim T_{BKT}$ оказывается близка к температуре перехода в чистой системе. Аналогичная ситуация имеет место в трехмерных $O(n)$ -моделях, где \tilde{T} порядка температуры возникновения дальнего порядка в чистой системе.

6. Фазовая диаграмма двумерной модели Гейзенберга с дефектами типа „случайное локальное поле“

Сравнивая формулы (4) и (10), легко увидеть, что полученное в работе [12] условие подавления неупорядоченного состояния Имри–Ма $|K| > K_{cr}$ эквивалентно условию $T_c > \tilde{T}$. В противном случае с понижением температуры при $T \sim \tilde{T}$ происходит переход из парафазы в фазу Имри–Ма, описанный в предшествующем разделе. Рассмотрим фазовую диаграмму в области $T_c > \tilde{T}$.

С понижением температуры в случае индуцированной дефектами анизотропии типа „легкая ось“ при $T = T_c$ происходит переход к эффективно однокомпонентному

параметру порядка, а в случае анизотропии типа „легкая плоскость“ — переход к эффективно двухкомпонентному параметру порядка. Поскольку, как показано в работе [13] (смотри также обзор [14]), низшая критическая размерность для модели Изинга с дефектами типа „случайное локальное поле“ равна двум, то переход к однокомпонентному параметру порядка в двумерной системе сопровождается возникновением ферромагнитной фазы, то есть имеет место фазовый переход парамагнетик–ферромагнетик.

Если при $T = T_c$ переход произошел к эффективно двухкомпонентному параметру порядка, то для изучения поведения возникшей системы нужно спроектировать случайные поля дефектов на легкую плоскость, рассчитать параметры $|K'|$, K'_{cr} , T'_c и \tilde{T}' в системе с меньшим числом компонент параметра порядка и исследовать часть фазовой диаграммы X – Y -модели с дефектами типа „случайное локальное поле“, отвечающую области температур $T < T_c$.

В работе [7] было получено уравнение самосогласования для глобальной эффективной анизотропии, создаваемой анизотропным распределением случайных полей в пространстве параметра порядка двумерной системы

$$|K| = \frac{x}{4\pi J} (p^{\max} - p^{\min}) \ln \frac{4\pi J}{|K|}, \quad (12)$$

где p — квадратичная форма относительно компонент единичного вектора \mathbf{s}_0 , параллельного среднему значению спина,

$$p = \sum_{\alpha=1}^n s_{0\alpha}^2 \langle h_{I\alpha}^2 \rangle, \quad (13)$$

а p^{\max} , p^{\min} — максимальное и минимальное значение этой формы относительно всех возможных ориентаций \mathbf{s}_0 в n -мерном пространстве параметра порядка.

В случае компланарного и изотропного в выделенной плоскости распределения случайных полей в системе возникает легкая ось, перпендикулярная этой плоскости. Уравнение самосогласования для константы анизотропии (12) принимает вид [7]

$$|K| = \frac{x \langle \mathbf{h}_I^2 \rangle}{8\pi J} \ln \frac{4\pi J}{|K|}. \quad (14)$$

Решая его методом итераций, получаем в первом приближении

$$|K| = \frac{x \langle \mathbf{h}_I^2 \rangle}{8\pi J} \ln \frac{32\pi^2 J^2}{x \langle \mathbf{h}_I^2 \rangle}. \quad (15)$$

В случае $T_c > \tilde{T}$ параметр порядка в ферромагнитной фазе ориентирован коллинеарно легкой оси, его крупномасштабные статические флуктуации подавлены, имеют место только локальные отклонения спинов вблизи дефектов. При $T_c < \tilde{T}$ в фазе Имри–Ма спины лежат в той же плоскости, что и случайные поля.

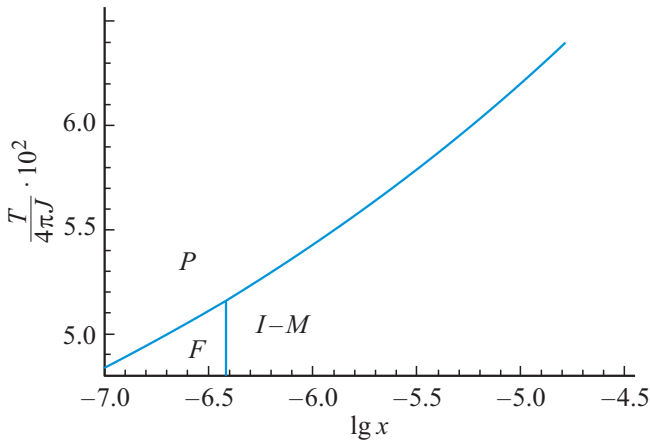


Рис. 1. Фазовая диаграмма двумерной модели Гейзенберга с анизотропией типа „легкая ось“, индуцированной дефектами типа „случайное локальное поле“, при $J^2/\langle h_l^2 \rangle = 100$: P — парамагнитная фаза, F — ферромагнитная фаза, $I-M$ — неупорядоченная фаза Имри–Ма.

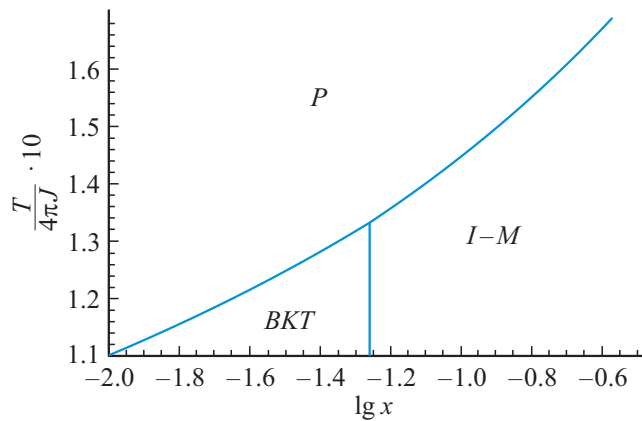


Рис. 2. Фазовая диаграмма двумерной модели Гейзенберга с анизотропией типа „легкая плоскость“, индуцированной дефектами типа „случайное локальное поле“, при $J^2/\langle h_l^2 \rangle = 100$: P — парамагнитная фаза, BKT — фаза БКТ, $I-M$ — неупорядоченная фаза Имри–Ма.

Условию $T_c > \tilde{T}$ при $J^2/\langle h_l^2 \rangle = 100$ соответствует область концентраций $x < x_c = 4 \cdot 10^{-7}$. Таким образом, даже при данном распределении направлений случайных полей, оптимальном для создания глобальной анизотропии, для всех реальных концентраций дефектов будет наблюдаться фаза Имри–Ма. Фазовая диаграмма двумерной модели Гейзенберга с дефектами типа „случайное локальное поле“ и анизотропией типа „легкая ось“ приведена на рис. 1.

В случае, когда все случайные поля коллинеарны оси z декартовой ортогональной системы координат, в спиновом пространстве возникает легкая плоскость xu . При этом проекции случайных полей на легкую плоскость равны нулю, что делает возникшую систему с двухкомпонентным параметром порядка эквивалентной

чистой $X-Y$ -модели. Поэтому при температуре T_c , задаваемой формулой (4) со значением $|K|$, равным [7]

$$|K| = \frac{x \langle h_l^2 \rangle}{4\pi J} \ln \frac{16\pi^2 J^2}{x \langle h_l^2 \rangle}, \quad (16)$$

происходит фазовый переход в фазу БКТ, в которой спины лежат в легкой плоскости.

Условию $T_c > \tilde{T}$ при $J^2/\langle h_l^2 \rangle = 100$ соответствует область концентраций $x < x_c = 5.5 \cdot 10^{-2}$. Таким образом, переход из фазы БКТ в фазу Имри–Ма по мере роста концентрации дефектов происходит при заметной критической концентрации. Фазовая диаграмма двумерной модели Гейзенберга с дефектами типа „случайное локальное поле“ и анизотропией типа „легкая плоскость“ приведена на рис. 2.

7. Фазовая диаграмма двумерной $X-Y$ -модели с дефектами типа „случайное локальное поле“

Аналогично рассмотрению, проведенному в предшествующем разделе, условие подавления неупорядоченного состояния Имри–Ма $|K| > K_{cr}$ эквивалентно соотношению $\tau_c > \tilde{\tau}$. Если же $|K| < K_{cr}$, то при $\tau \sim \tilde{\tau}$ парамагнитная фаза переходит в состояние Имри–Ма.

В случае анизотропного распределения направлений случайных полей, при котором все h_l коллинеарны, в системе появляется легкая ось, перпендикулярная направлению случайных полей, а значение константы анизотропии дается формулой (16). Поскольку проекции случайных полей на легкую ось равны нулю, то возникающая система с однокомпонентным параметром порядка эквивалентна чистой двумерной модели Изинга. Поэтому при $\tau = \tau_c$ в системе происходит фазовый переход из парамагнитной фазы в ферромагнитную, структура которой аналогична структуре ферромагнитной фазы, описанной в предшествующем разделе. Условие $\tau_c > \tilde{\tau}$ выполнено в области концентраций $x < x_c = 5.5 \cdot 10^{-2}$. Однако и при больших концентрациях, когда $\tau_c < \tilde{\tau}$ и разупорядочивающее действие случайных полей преобладает, в системе существует дальний порядок. Причины этого рассмотрены нами в работе [15]. Поскольку все случайные поля коллинеарны некоторой прямой в двумерном пространстве параметра порядка (выберем ее в качестве оси ξ декартовой ортогональной системы координат (ξ, η)), то флуктуация случайного поля в области с характерным линейным размером L^* направлена либо параллельно, либо антипараллельно оси ξ . При переходе от области с одним направлением поля к соседней области с противоположным направлением поля параметр порядка совершает разворот на 180° . Энергия неоднородного обмена будет заведомо меньше, если этот разворот во всей решетке спинов будет происходить по одной и той же дуге, проходящей, например, через положительную полуось η . При этом в системе возникнет

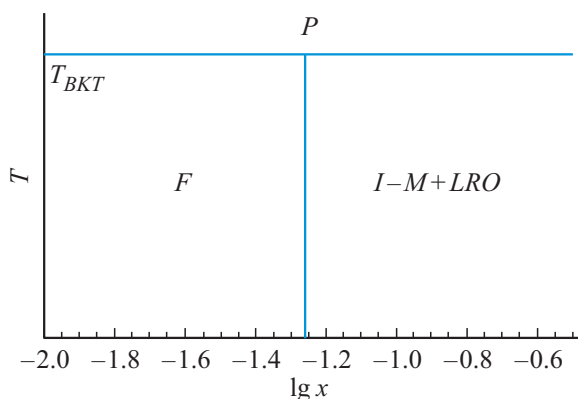


Рис. 3. Фазовая диаграмма двумерной X – Y -модели с коллинеарными направлениями случайных полей дефектов при $J^2/\langle h_i^2 \rangle = 100$: P — парамагнитная фаза, F — ферромагнитная фаза, $I-M+LRO$ — фаза Имри–Ма с дальним порядком.

среднее значение векторного параметра порядка, параллельное оси η . Это объясняет результаты моделирования работ [8,9], авторы которых ввели случайное поле в каждую ячейку ($x = 1$) и продемонстрировали наличие дальнего порядка, индуцированного случайными полями (random field induced order). Среднее значение параметра порядка даже в основном состоянии далеко от насыщения, так как флуктуации случайного поля приводят к существенным статическим флуктуациям параметра порядка. Имеет место сосуществование фазы Имри–Ма и ферромагнитной фазы. Следует отметить, что данная комплексная фаза представляется нам уникальной. Во всей области концентраций дефектов фазовый переход в ферромагнитную фазу или фазу Имри–Ма с дальним порядком происходит при $T \sim T_{BKT}$. Фазовая диаграмма двумерной X – Y -модели с дефектами типа „случайное локальное поле“ приведена на рис. 3.

8. Выводы

В заключение сформулируем основные выводы работы:

1. Анизотропное распределение случайных полей дефектов, создавая глобальную анизотропию, эффективно уменьшает число компонент параметра порядка. В случае двумерных $O(n)$ -моделей это может привести к возникновению в системе дальнего порядка при конечной температуре.

2. В случае бездефектной двумерной X – Y -модели появление сколь угодно слабой анизотропии в двумерном пространстве параметра порядка полностью исключает появление фазы Березинского–Костерлица–Таулеса и приводит к появлению фазы с дальним порядком.

3. Поскольку дефекты типа „случайное локальное поле“ создают статические флуктуации случайного поля, способствующие разупорядочению системы спинов, то в двумерной модели Гейзенберга с указанными дефектами

и анизотропией типа „легкая ось“ при их концентрации, превышающей $4 \cdot 10^{-7}$, с понижением температуры происходит плавный переход от динамических флуктуаций параметра порядка, характерных для чистой системы, к фазе Имри–Ма со статическими флуктуациями параметра порядка, следующими за флуктуациями направления случайного поля.

4. В случае двумерной X – Y -модели и коллинеарных случайных полей дефектов при температуре $T \sim T_{BKT}$ и концентрации дефектов, меньшей $5.5 \cdot 10^{-2}$, происходит фазовый переход из парамагнитной фазы в ферромагнитную, а при большей концентрации дефектов — в фазу Имри–Ма с дальним порядком.

Финансирование работы

Работа поддержана Министерством науки и высшего образования РФ (госзадание, проект № 8.1183.2017ПЧ).

Конфликт интересов

Авторы заявляют, что у них нет конфликта интересов.

Список литературы

- [1] В.Л. Березинский. ЖЭТФ **59**, 907 (1971); **61**, 1144 (1972).
- [2] J.M. Kosterlitz, D.G. Thouless. J. Phys. C **6**, 1181 (1973).
- [3] Ю.А. Изюмов, Ю.Н. Скрябин. Статистическая механика магнитоупорядоченных систем. Наука, М. (1987). 268 с.
- [4] С.Б. Хохлачев. ЖЭТФ **70**, 265 (1976).
- [5] А.А. Берзин, А.И. Морозов, А.С. Сигов. ФТТ **58**, 1614 (2016).
- [6] А.А. Берзин, А.И. Морозов, А.С. Сигов. ФТТ **58**, 1783 (2016).
- [7] А.А. Берзин, А.И. Морозов, А.С. Сигов. ФТТ **59**, 1992 (2017).
- [8] V.J. Minchau, R.A. Pelcovits. Phys. Rev. B **32**, 3081 (1985).
- [9] J. Wehr, A. Niederberger, L. Sanchez-Palencia, M. Lewenstein. Phys. Rev. B **74**, 224448 (2006).
- [10] Y. Imry, S.-K. Ma. Phys. Rev. Lett. **35**, 1399 (1975).
- [11] D.J. Scalapino, Y. Ymry, P. Pincus. Phys. Rev. B **11**, 2042 (1978).
- [12] А.И. Морозов, А.С. Сигов. Письма в ЖЭТФ **90**, 818 (2009).
- [13] J. Imbrie. Phys. Rev. Lett. **53**, 1747 (1984).
- [14] Вик. С. Доценко. УФН **165**, 481 (1995)
- [15] А.А. Берзин, А.И. Морозов. ФТТ **57**, 2155 (2015).

Редактор К.В. Емцев